

토마토에서 칼슘수송체와 칼슘결합단백질 공동발현에 의한 칼슘결핍유사증상의 완화

한증술 · 강호주 · 김창길

Restriction of Ca^{2+} deficiency-like symptoms by co-expressing a Ca^{2+} transporter and a Ca^{2+} -binding protein in tomato

Jeung-Sul Han · Hoju Kang · Chang-Kil Kim

Received: 1 November 2010 / Accepted: 15 November 2010
© Korean Society for Plant Biotechnology

Abstract Here we focused on tip-burn and blossom-end rot (BER) symptoms in the tomato plants expressing the constitutively active form of $\text{Ca}^{2+}/\text{H}^{+}$ antiporter (*sCAX1*) and/or a Ca-binding protein (calreticulin, CRT) genes during their whole growth period. Conclusively we demonstrated that CRT is able to suppress the tip-burn and BER symptoms that were induced by *sCAX1*. Under poor nutrition condition, tomato plants overexpressing *sCAX1* showed severe necrotic collapses in both roots and shoot polar tissues, which are in accordance with Ca^{2+} deficient symptoms frequently observed in an agricultural cultivation of tomato. Reciprocal grafting trials using *sCAX1* and wild type plants revealed that the tip-burn symptom by *sCAX1* overexpression is not caused by hindrance of Ca^{2+} uptake from soil. We constructed CRT overexpressing transgenic tomatoes, and crossed them with *sCAX1* transgenic plants to investigate the effects of CRT on the symptoms of *sCAX1* transgenic plants. Co-expression of *sCAX1* and CRT significantly suppressed the Ca^{2+} deficient symptoms of *sCAX1* transgenic plants. Those

results suggest the model that Ca^{2+} homeostasis disturbed by the overexpression of *sCAX1* may be suppressed by the co-expression of CRT.

서론

칼슘은 식물체를 구성하는 필수원소인 동시에 다양한 외부 자극에 반응한 식물의 세포내 신호전달과정에도 중요한 역할을 담당한다 (Marschner 1995; Knight and Knight 2001; Sanders et al. 2002). 따라서 흡수되는 칼슘의 절대적 양이 적거나 특정 조직으로 칼슘이온의 이동이 어려워지면 그 식물체는 피해를 받게 되고 생산성은 감소된다 (Marschner 1995; Park et al. 2005). 또한 대부분의 채소는 사람이 흡수할 수 있는 유효칼슘 함량이 낮다는 점 (Morris et al. 2007)에서 풍부한 유효칼슘을 다량 보유한 채소를 개발하는 것은 의미 있는 일이라 할 수 있다.

칼슘결핍으로 인한 채소류의 장해현상은 비교적 손쉽게 관찰되는데, 특히 토마토 과실의 암술부착 부위 갈변 (배꼽썩음병: blossom-end rot, BER)과 엽채류의 잎 끝 또는 성장점 조직에서 나타나는 갈변 (tip-burn)이 대표적이다 (White and Broadley 2003). BER은 토마토 생산성에 큰 영향을 미치며 칼슘과 관련된 복잡한 원인에 의해 발생하지만 충분한 양의 칼슘이온이 식물체내로 흡수되더라도 급속히 비대중인 과실로 칼슘이온이 충분히 이동되지 않는 경우에도 발생할 수 있다 (Ho and White 2005).

토마토의 BER 발생을 줄이고 유효칼슘함량을 높여 영양가치를 향상하기 위한 분자유전학적 방법으로 칼슘수송체 (Hirschi et al. 1996) 또는 칼슘결합단백질 (Wyatt et al. 2002)의 발현 조절을 고려할 수 있다. 실제로 액포막에 소재하는 칼슘수송체의 하나인 $\text{H}^{+}/\text{Ca}^{2+}$ antiporter (CAX1)

J.-S. Han
경북대학교 생태환경대학 생태환경보전전공
(Department of Ecological Environment Conservation, College of Ecology & Environment Science, Kyungpook National University, Sangju 742-711, Korea)

H. Kang
경상남도 함안군 농업기술센터
(Haman Agricultural Development & Technology Center, Gaya-up, Haman-gun 684-513, Korea)

C.-K. Kim (✉)
경북대학교 농업생명과학대학 응용생명과학부
(School of Applied Biosciences, College of Agriculture & Life Sciences, Kyungpook National University, Daegu 702-701, Korea)
e-mail: ckkim@knu.ac.kr

의 자동조절영역 암호화 부위 (Shigaki et al. 2001)를 제거한 변형 유전자 (short CAX1: *sCAX1*)를 토마토에서 발현시켰을 때 과실의 칼슘함량이 약 2배 증가하였으며 (Park et al. 2005), 소포체와 원형질원막사에 주로 소재하는 칼슘 결합단백질의 하나인 calreticulin을 암호화하는 유전자 (*CRT*)를 담배에 형질전환하였을 때 칼슘함량이 2배 이상 증가하였다 (Persson et al. 2001). 전자의 보고에서 흥미로운 점은 *sCAX1* 발현 토마토는 과실에서 칼슘의 함량이 뚜렷하게 증가되기는 하지만 오히려 심한 BER과 신초 정단부 tip-burn이 나타난다는 것이다. *sCAX1* 형질전환 토마토에서 나타나는 이러한 현상의 발생원인이 토양으로부터의 칼슘 흡수가 장애를 받아 빠르게 생육하는 과실의 암술 부착부 또는 신초의 정단으로 그 이동이 충분하지 못한 결과인지 세포 내부로 충분한 칼슘이온이 공급되는 하지만 액포로의 지나친 수송으로 인해 세포질 칼슘이온 농도 상승 또는 칼슘의존적 신호전달이 교란을 받은 결과인지는 분명하지 않다 (Hirschi 2004). 한편, *CRT*는 식물 세포의 주요 칼슘보존장치 중 하나이며 세포질 칼슘이온 농도 상승에도 깊이 관여하는 것으로 알려져 있다 (Pittman and Hirschi 2003; Hirschi 2004).

언급한 두 유전자의 보고된 기능을 염두에 두고 *sCAX1* 발현 토마토의 tip-burn과 BER 표현형을 종자가 발아하는 시점부터 관찰하는 한편, *sCAX1* 발현 토마토와 비형질전환체와의 접목을 통해 그 원인이 식물체 수준에서 토양으로부터 칼슘흡수에 제한을 받은 결과인지 또는 세포수준에 기인하는지를 간접적으로 확인하는 것과 *CRT* 형질전환 토마토를 획득한 후 *sCAX1* 형질전환체와 공동발현 토록 교배를 통해 두 유전자를 집적함으로써 tip-burn과 BER이 억제될 수 있는지를 확인하는 것에 목적을 두고 본 연구를 수행하였다.

재료 및 방법

식물재료와 형질전환

토마토 내흔계통 'FM9'에 *sCAX1* 유전자가 1 copy 삽입된 T₁ 분리세대 종자를 미국 Kansas주립대학교 S. Park으로부터 분양받아 (Park et al. 2005) 고정 (T₂ 세대)한 후 tip-burn과 BER 표현형 관찰 재료로 사용하였다. *CRT* 유전자 형질전환은 국립원예특작과학원에서 육성한 내흔계통 '탐나라 (Tamnara)' 종자를 기내파종하여 하배축을 절취한 후 Park 등 (2003, 2005)의 방법에 따라 아그로박테리움 공동배양법으로 수행하였다.

Agrobacterium 균주와 플라스미드

sCAX1 발현 'FM9'은 pBI121 벡터 (Chen et al. 2003)의 원

T-DNA 대신 *sCAX1* 유전자가 클로닝된 T-DNA (Fig. 1A; Doerner et al. 1996)로 재조합된 벡터를 *A. tumefaciens* LBA4404 균주에 도입한 후 형질전환함으로써 획득되었다 (Park et al. 2005). pE1775 벡터 (Lee et al. 2007)의 다중 클로닝 부위에 *CRT* 유전자가 삽입된 pE1775-*CRT* 벡터 (Fig. 1B)를 미국 Kansas주립대학교 S. Park으로부터 분양받아 freeze-thaw method (Holsters et al. 1978)를 통해 *A. tumefaciens* LBA4404 균주에 도입한 후 이를 토마토 내흔계통 '탐나라'의 형질전환에 사용하였다.

형질전환체의 핵산분석

DNeasy Plant Mini Kit (Qiagen GmbH, Hilden, German)을 이용하여 제조사의 안내에 따라 어린잎으로부터 DNA를 추출한 후 모든 시료를 10 ng/μL로 각각 희석한 후 증합 효소연쇄반응 (PCR) 분석에 이용하였다. PCR은 PerfectShot Ex Tag Kit (Takara Bio Inc., Shiga, Japan) 25 μL에 희석한 시료 DNA 4 μL, 탈이온 멸균수 13 μL 및 forward primer와 reverse primer를 각각 4 μL씩 혼합하여 수행하였다. 각 primer 조합의 염기서열은 *sCAX1*: 5'-TGCCGCCATTATTTGCACCT-3'와 5'-TGTCATCCCAACCAACCATG-3' (640 bp 증폭), *NPTII*: 5'-GAGGCTATTCGGCTATGACTG-3'와 5'-ATCGGGAGCGGCGATACCGTA-3' (700 bp 증폭), *CRT*: 5'-TGAGTTCAGCAACAAGGATA-3'와 5'-CTCATCCTCTAGGTCATCATCCTCAT-3' (910 bp 증폭), *HPTIII*: 5'-AGTCAATGACCGCTGTTATG-3'와 5'-ACAGCGTCTCCGACCTGATG-3' (594 bp 증폭)로 설계하였다. 한편, *CRT* 형질전환체의 전사분석을 위해 RT-PCR 분석을 수행하였다. PCR 분석을 통해 *CRT* 유전자 단편이 증폭된 개체 중에서 생육에 이상이 없는 개체에서 무작위로 4개체를 선택하여 RNeasy Plant Mini Kit (Qiagen)를 이용하여 제조사의 지시에 따라 어린잎으로부터 총 RNA를 추출한 후 SuperScript III First-Strand Synthesis System (Invitrogen, Carlsbad, USA)을 이용하여 cDNA를 합성하였다. cDNA 합성 전 각각의 RNA는 DNA 오염을 제거하기 위하여 DNase I (Invitrogen)으로 2회 처리하였으며 분광광도계 (NanoDrop 2000: Thermo Fisher Scientific Inc., Waltham, USA)로 정량한 후 cDNA 합성 최종혼합물 20 μL에 0.2 μg이 첨가되도록 하였다. 합성된 cDNA는 DNA PCR 분석에서와 동일한 primer를 사용하여 목표 유전자 단편을 증폭하였다.

sCAX1 T₂ 고정집단 선발, *sCAX1* 형질전환체 표현형 검정, 비형질전환체와의 접목

도입한 *sCAX1* 형질전환 'FM9' T₁ 세대 각 개체를 대상으로 한 PCR 분석을 통해 *sCAX1* 유전자의 삽입이 확인된 개체만을 대상으로 인공 자가수분을 실시하여 T₂세대를

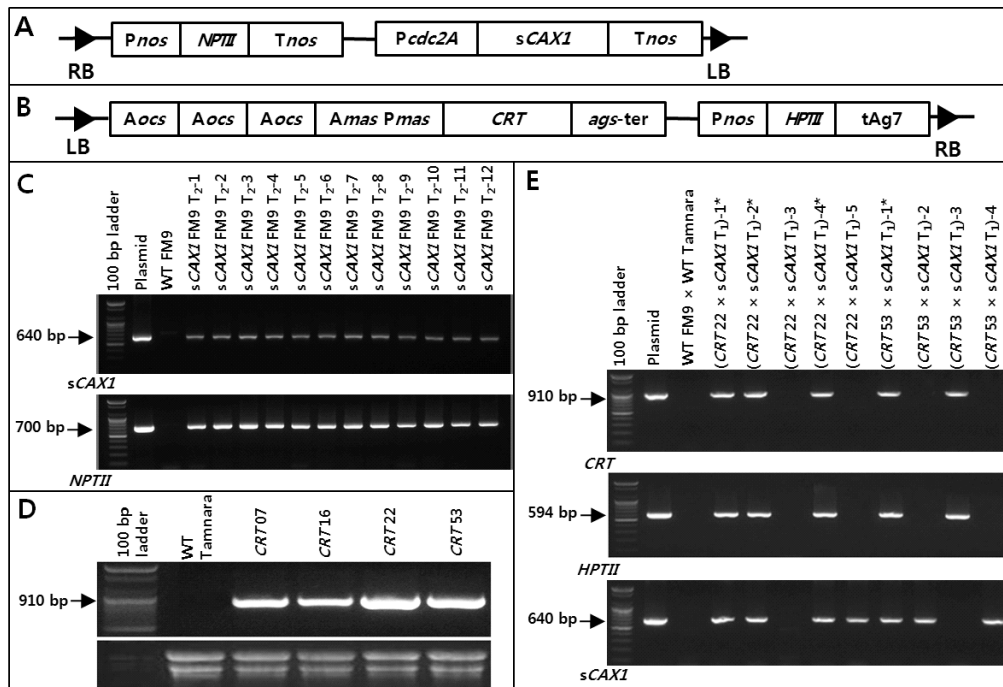


Fig. 1 Nucleic acid analyses of *sCAXI*- and *CRT*-expressing tomatoes. (A and B) T-DNA regions of *sCAXI*- and *CRT*-expressing vectors, respectively. RB: right border, LB: left border, *Pnos*: nopaline synthase promoter, *NPTII*: neomycin phosphotransferase gene, *Tnos*: nopaline synthase terminator, *Pcdc2A*: cell division cycle promoter, *Aocs*: octopine synthase transcriptional activating element, *Amas Pmas*: mannopine synthase 2' transcriptional activating and promoter elements, *CRT*: *Zea mays* calreticulin gene, *ags-ter*: polyA addition signal from the agropine synthase gene, *HPTII*: hygromycin phosphotransferase gene, *tAg7*: polyA addition signal for T-DNA gene. (C) PCR analyses of non-segregating *sCAXI* 'FM9' at T₂ generation. (D) RT-PCR analysis of *CRT* Tamnara plants at T₀ generation. The same amounts of RNAs (as an internal control showed at lower part) from each plant were used for first-strand cDNA synthesis. (E) PCR analyses of F₁ hybrid between *CRT* (T₀ plant) and *sCAXI* (T₁ hemizygote plant) transformants. Asterisks upon lanes represent the F₁ plants containing both *CRT* and *sCAXI* genes

육성하고, 다시 집단별로 PCR 분석을 실시하여 T₂ 집단의 고정여부를 판단하였다. 고정된 T₂ 집단의 종자는 탈이온수를 공급한 여과지에 치상하여 발아양상을 관찰하였다. 최아된 종자는 상토 (Choroggy: Nongwoobio, Suwon, Korea)가 담긴 50공 plug tray에 파종한 후 육묘하여 본엽 2매 시점에 'FM9' WT와의 접목에 이용하였는데 대목과 접수는 형질전환체 여부에 따라 교호로 달리하였다. 무접목 *sCAXI* 형질전환체와 교호 접목모는 본엽 5~6매 시점에 상토와 발효이 4:1로 혼합된 용토가 담긴 25×25 cm pot에 정식하여 재배하면서 생육특성을 검정하였다. 재배 중 각 pot는 동일한 방식으로 수돗물로 관수를 하였으며 어떠한 시비도 하지 않았다.

CRT 형질전환 '탐나라'와 **sCAXI** 형질전환 'FM9'간 교배조합 작성 및 표현형 검정

*sCAXI*의 발현이 토마토 과실에 심한 BER을 유발함으로써 종자 수확량이 낮다는 점을 고려하여 종자친과 화분친을 선정하였다. PCR 분석을 통해 *CRT* 유전자 단편의 증폭이 확인되고 RT-PCR 분석을 통해 *CRT*의 전사가 상

대적으로 강한 형질전환 T₀세대 '탐나라' 2개체를 선택하여 종자친으로 사용하였고 도입 당시의 *sCAXI* 형질전환 T₁ 세대인 'FM9' (hemizygote)을 화분친으로 사용하여 인공교배 하는 한편 대조구로 비형질전환체간 교배도 동시에 수행하였다. *CRT* 형질전환 종자친으로부터 F₁ 종자를 수확하여 전술한 *sCAXI* 형질전환체의 표현형 검정에서와 동일한 방법으로 최아, 파종 및 재배하면서 tip burn과 BER 발생양상 등의 표현형을 관찰하였다. 한편, 생육중인 F₁ 식물체의 어린잎으로부터 DNA를 추출하고 PCR에 의한 *CRT*, *HPTII* 및 *sCAXI* 유전자 단편의 증폭 여부를 확인한 후 역추적하여 최아 당시와 생육 중인 각 개체에 도입된 유전자의 종류를 판정하고 그에 따른 식물체의 표현형을 구분하였다.

결과 및 고찰

sCAXI 형질전환 고정집단 선발과 형질전환체의 표현형

sCAXI 형질전환 T₂ 집단 각 개체를 대상으로한 목표 유전

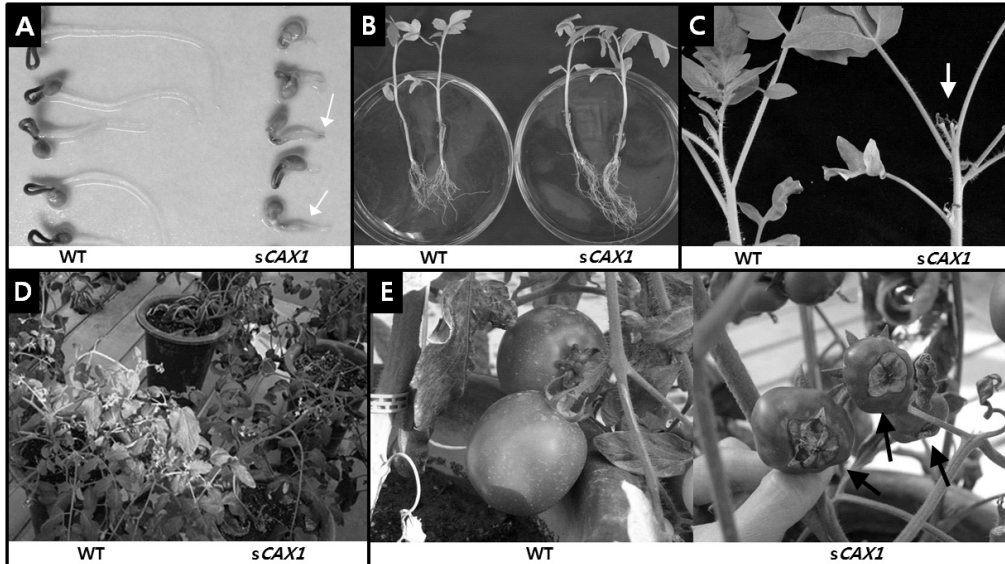


Fig. 2 Phenotypic characteristics of *sCAX1*-expressing ‘FM9’ tomatoes at T₂ generation. (A) Germinated seedlings of *sCAX1*-expressing plants and wild type (WT) ones. Arrows indicate tip-burning and poor growth of primary roots. (B) Young plants showing distinguishable root development. (C) Main shoots of adult plants. Arrow indicates severe tip-burn symptom. (D) Plant shapes of WT and *sCAX1*-expressing genotypes. (E) Set fruits of each plant. Pay attention to arrows indicating severe blossom-end rot symptom

자 *sCAX1*과 선발마커 유전자 *NPTII*에 대한 *PCR* 분석 수행하여 외래 유전자가 분리하지 않는 고정집단을 선발하였다 (Fig. 1C). 종자를 치상하여 최아시켰을 때 *sCAX1* 형질전환체는 발아 직후 1차근의 성장점 부위가 갈변하였으며 비형질전환체에 비해 그 신장도 불량하였다 (Fig. 2A). 그러나 plug tray 육묘중에는 오히려 역전되어 형질전환 유식물체의 뿌리 발달이 대조구에 비해 양호하였다 (Fig. 2B). 이러한 결과는 종자가 흡습하여 발아할 때부터 이미 *sCAX1* 유전자가 강하게 발현하고 있으며 형질전환 식물체의 정상생육을 위해서는 특별한 환경이 필요하다는 것을 시사한다고 할 수 있다. Cheng 등 (2003)은 H^+/Ca^{2+} antiporter (*CAX1*) 기능을 상실한 돌연변이 애기장대 유식물체가 대조구에 비해 칼슘결핍에 더 내성을 보인다고 보고한 바 있다. 따라서 *sCAX1* 과발현 토마토는 발아 당시부터 칼슘에 관한 한 소요량이 더 많다고 추정할 수 있다. Pot 정식 직전인 본엽 5~6매 시점까지 *sCAX1* 형질전환 식물체는 대조구와 비교하여 tip-burn 발생에 차이를 보이지 않고 생육하였으나 그 이후에는 주지 정단부에 심한 tip-burn 현상을 보였다 (Fig. 2C). 주지의 tip-burn은 액아로부터의 신초형성을 촉진하였고, 액아유래 신초는 2~3 마디까지 정상생장을 하다가 그 후 정단부에 심한 tip-burn을 동반하기를 반복하여 최종적으로는 식물체는 관목형 초형 (bush type)을 나타내었다 (Fig. 1D). 또한 *sCAX1* 형질전환체의 과실은 Park 등 (2005)이 보고한 바와 같이 심한 BER 병징을 나타내었다 (Fig. 2E). 본 연구에서 관찰된 *sCAX1* 형질전환체에서의 일련의 tip-burn과 BER 발생은 세포분열이 활발한 정단 및 근단 성장점 부근과 조직

의 팽창이 급속히 이루어지는 과실의 blossom-end 부근에서 주로 나타났다는 점에서 다양한 작물의 비형질전환체에서 나타나는 일반적 칼슘결핍 증상과 일치한다 (White and Broadley 2003). 주목할 만한 결과는 외부양분 공급이 없이 최아된 *sCAX1* 형질전환 유식물체의 근단에서 비록 심한 tip-burn이 나타나지만 토양 재식 후의 유식물체, 즉 지신장 초기 및 과실 발육초기 등에 일시적 정상생육을 한다는 점이다. 따라서 *sCAX1* 수송체가 토양으로부터의 칼슘흡수 또는 식물체내 장거리 이동에는 영향을 미치지 않는다는 것에 대한 확인이 필요하다고 하겠다.

sCAX1 형질전환체와 비형질전환체간 접목묘에서 tip-burn 발생 양상

sCAX1 형질전환체 (*sCAX1*)와 비형질전환체 (wild type: WT)를 각각 접수 또는 대목으로 이용하여 교호로 접목 (Fig. 3A)한 후 접수에서 나타나는 tip-burn 발생 양상을 비교하였다. *sCAX1*/WT (접수/대목) 조합과 *sCAX1*/*sCAX1* 조합의 경우 접수에서 심한 tip-burn 증상이 관찰된 반면 WT/*sCAX1* 조합에서는 주지와 측지를 막론하고 tip-burn이 전혀 관찰되지 않았다 (Fig. 3B). 대목으로 *sCAX1*을 사용하였음에도 불구하고 접수인 WT에서 tip-burn이 발생하지 않았다는 점은 *sCAX1* 형질전환 대목이 정상적으로 칼슘이온을 토양으로부터 흡수하고 접수로 수송할 수 있다는 것으로 해석할 수 있다. 또한 대목으로 WT를 사용하였을 때 접수인 *sCAX1* 형질전환체에서 여전히 무접목 *sCAX1* 형질전환 식물체와 비등한 수준의 tip-burn이 발생

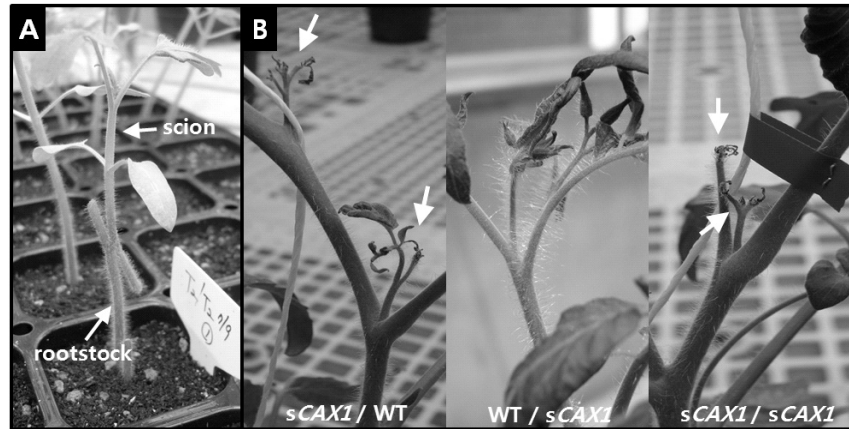


Fig. 3 Tip-burn symptoms on the scions of grafted seedlings using both genotypes. (A) One of grafted young seedlings. Each arrow indicates scion and rootstock, respectively. (B) Tip-burning aspect in adult plants depending on grafting combination (scion/rootstock). Arrows indicate severe tip-burn symptoms

하였다는 점은 토양으로부터 흡수된 칼슘이온이 *sCAX1* 형질전환 식물체에 도달하면서부터 이동이 어려워졌거나 세포수준에서 칼슘의 질적 또는 양적 이용성에 문제가 있기 때문으로 해석할 수 있을 것이다.

CRT 형질전환체 획득, **CRT**와 **sCAX1** 형질전환체간 교배조합 작성 및 표현형 검정

기내과중한 ‘탐나라’의 하배축 절편을 재료로 **CRT** 형질전환을 수행하여 총 54개 재분화 식물체를 획득하고 이들에 대한 목표유전자 PCR 분석을 수행하였다. PCR 분석결과 54개체 중 53개체에서 *ZmCRT* 유전자 단편의 증폭을 확인하였고 (자료 미제시) 53개체 중 무작위로 4개체를 선택하여 RT-PCR 분석을 수행함으로써 전사량이 상대적으로 많은 2개체 (T_0 세대: **CRT** 22, **CRT** 53)를 최종적으로 선발하였다 (Fig. 1D). 최종선발된 2개체를 종자친으로 사용하여 *sCAX1* 형질전환 ‘탐나라’ T_1 식물체와 각각 교배함으로써 F_1 을 채종하였다. 언급한 표현형 검정과 동일한 방법으로 최아, 육묘 및 재배하는 한편 각 목표 유전자와 선발마커 유전자 *HPTII*에 대한 PCR 분석을 수행하여 각 개체의 외래유전자 구성을 결정한 결과 외래유전자가 탐지되지 않은 개체, *sCAX1* 유전자만 탐지된 개체, **CRT**::*HPTII*만 탐지된 개체 및 **CRT**::*HPTII*와 *sCAX1*이 모두 탐지된 개체로 분리하였다 (Fig. 1E). 각각의 외래유전자 구성을 기준으로 발아한 유묘, 성숙식물체 및 과실의 tip-burn과 BER의 양상을 관찰하였다. WT간 F_1 , 분리하여 두 목표유전자가 모두 없는 F_1 및 **CRT**만 삽입된 F_1 식물체는 세가지 경우 모두 유묘와 성숙식물의 근단과 정단 tip-burn을 관찰할 수 없었고 BER이 발생한 과실도 비슷한 정도로 희박하였다 (Fig. 4). 반면, *sCAX1*만 삽입된 F_1 식물체는 *sCAX1* 형질전환 ‘FM9’ 계통과 비견

될 정도로 근단과 정단에서의 심한 tip-burn 그리고 과실에서의 심한 BER을 수반하였다 (Fig. 1E; Fig. 4). 흥미로운 결과는 **CRT**와 *sCAX1*이 모두 삽입된 F_1 식물체의 경우는 유묘의 근단과 성숙식물체의 정단 tip-burn 뿐 아니라 과실의 BER도 매우 경미하다는 것이다 (Fig. 4). 이러한 결과는 세포소기관 막소재 칼슘수송체 단백질 *sCAX1* (Shigaki et al. 2001)과 소포체 및 원형질연락사 등에 주로 소재하는 칼슘결합단백질인 **CRT** (Baluska et al. 1999)가 직간접적으로 상호작용을 하며 **CRT**는 *sCAX1* 발현에 따른 심한 tip-burn과 BER 발생을 경감시킬 수 있음을 시사한다고 할 수 있다. 세포질 칼슘항상성 뿐 만 아니라 다양한 기작이 관여할 수 있지만, 외부로부터의 칼슘공급이 충분하지 않고 특히 세포분열이 왕성한 조직에서는 *sCAX1*에 의한 세포질 칼슘이온의 지속적 액포 축적에 의해 세포질의 칼슘이온항상성 조절 또는 칼슘 의존적 신호전달기구가 교란되고 따라서 tip-burn 또는 BER이 발생하지만, **CRT**가 공동발현 할 경우에는 세포질 칼슘이온항상성 또는 신호전달기구를 복원시켜 줄 수 있다는 것을 하나의 모델로 제시할 수 있을 것이다. 지상부 생물량이 상대적으로 적은 당근에서 *sCAX1*을 발현시키면 T_0 세대 일부 개체에서만 그것도 약하게 tip-burn이 생긴다는 보고 (Park et al. 2004)와 **CRT**의 세포내 소재 및 보고된 다양한 기능 (Krause and Michalak 1997; Baluska et al. 1999)을 고려하면 상기 모델의 제시는 설득력이 있다고 하겠다.

본 연구의 결과를 종합하면 첫째, 토마토에서 *sCAX1* 발현은 알려진 바와 같이 정단부의 tip-burn과 과실의 BER을 유발시킬 수 있는 데 이는 토양으로부터의 칼슘흡수 이상에 기인한 것이 아니고 둘째, 외부로부터의 칼슘공급이 부족해질 경우 *sCAX1* 형질전환 토마토는 비형질전환체에 비해 더 심하게 tip-burn과 BER을 표현하며 셋째, **CRT**의 공동발현에 의해 *sCAX1* 발현의 결과물인 tip-burn

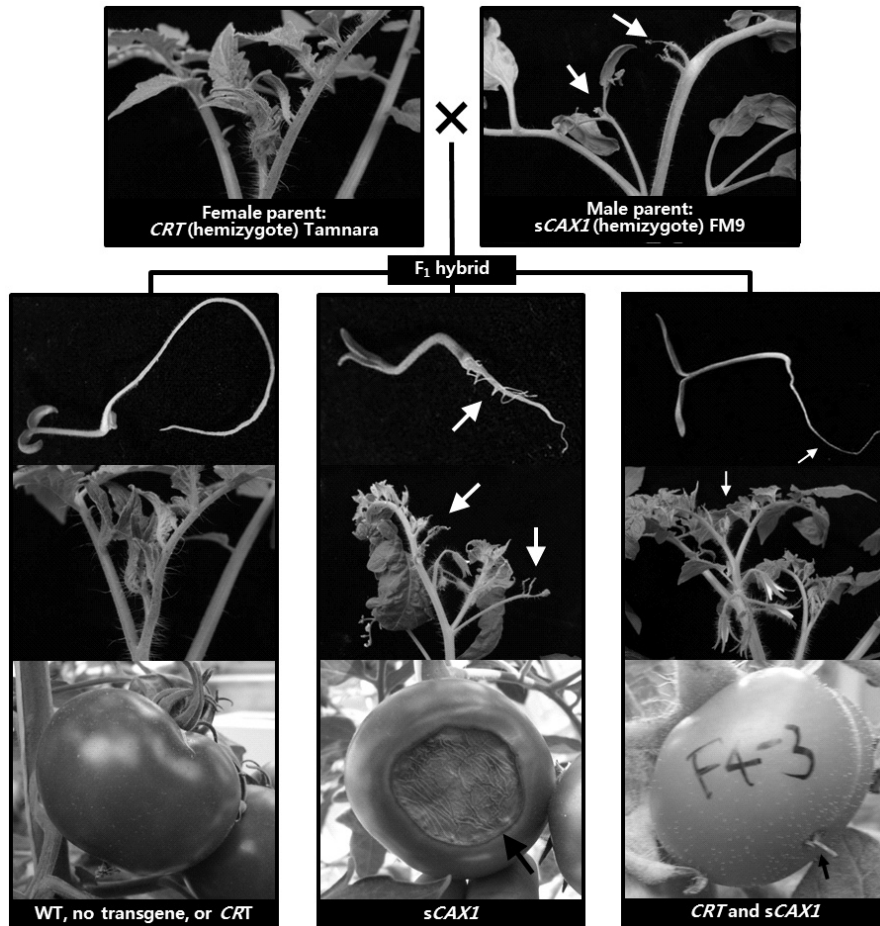


Fig. 4 Photographic pedigree of F₁ hybrid combined with different genetic backgrounds (*CRT*-expressing Tamnara T₀ plant as female parent and *sCAX1*-expressing ‘FM9’ T₁ plant as male parent). Arrows with different thickness in frames reflect the severities of tip-burn or blossom-end rot incidence

과 BER이 경감될 수 있다는 것으로 요약할 수 있다. 고 칼슘 토마토는 식품적 측면에서 상당히 매력적인 대상이며 칼슘결핍으로 인한 BER은 토마토 생산성을 떨어뜨리는 주범인 동시에 그 내성은 육종목표 중 하나이다. 다른 종류의 세포소기관 칼슘수송체를 발현시키거나 *sCAX1*의 발현량을 조절할 수 있는 인자 (promoter)를 달리함으로써 풍부한 칼슘을 가진 토마토를 개발 할 수 있다는 보고 (Park et al. 2005; Chung et al. 2010)가 있지만 토마토의 tip-burn과 BER 발생의 기작을 충분히 이해하는 것도 기존 품종의 안정생산과 교배육종 측면에서 중요하다고 하겠다.

적 요

본 연구는 칼슘 수송체의 하나인 *sCAX1*과 칼슘결합단백질의 하나인 *CRT*가 토마토에서 발현했을 때 tip-burn과 배꼽썩음병 (BER)이 토마토의 전 생육기간에 걸쳐 어떠한 양상으로 나타나는지를 관찰하는 것에 초점을 맞추어

수행하였고, 최종 연구 결과는 *CRT* 공동발현이 *sCAX1* 발현에 의해 야기된 병징을 억제시킬 수 있음을 확인시켰다. 양분공급이 불량한 환경하에 놓인 *sCAX1* 단독 발현 토마토 식물체는 그 근단 조직, 정단 조직 및 과실의 암술부착부위 조직에 토마토 재배 농가포장에서 빈번하게 관찰되는 칼슘결핍 증상과 일치하는 괴사현상을 나타내었다. *sCAX1* 형질전환체와 비형질전환체를 각각 대목과 접수로 달리 사용한 교호접목 실험을 통해 *sCAX1* 발현에 따른 tip-burn 병징이 토양으로부터의 칼슘이온 흡수에 장애를 받아 생긴 결과가 아님을 확인하였다. 형질전환을 통해 *CRT* 발현 토마토를 획득한 후 *CRT*가 *sCAX1*에 의한 불량한 특성 발현을 제어할 수 있는지 확인하기 위하여 양자간 교배조합을 작성하였다. *sCAX1*과 *CRT*를 토마토에서 공동발현 시켰을 때 완벽하지는 않지만 양극 조직의 괴사와 BER이 뚜렷하게 감소되었다. 본 연구의 결과를 바탕으로 *sCAX1* 발현에 의해 방해 받은 세포 내 칼슘이온 관련 어떤 기구는 *CRT* 공동발현을 통해 복구될 수 있다는 하나의 모델을 제시할 수 있을 것이다.

사 사

본 논문은 농촌진흥청 공동연구사업 (과제번호: 200705-01080010)의 지원에 의해 이루어진 것이며 이 논문의 일부는 2010년도 경북대학교 학술연구비에 의하여 연구되었음.

인용문헌

- Baluska F, Samaj J, Napier R, Volkmann D (1999) Maize calreticulin localizes preferentially to plasmodesmata in root apex. *Plant J* 19:481-488
- Chen PY, Wang CK, Soong SC, To KY (2003) Complete sequence of the binary vector pBI121 and its application in cloning T-DNA insertion from transgenic plants. *Mol Breeding* 11: 287-293
- Cheng NH, Pittman JK, Barkla BJ, Shigaki T, Hirschi KD (2003) The *Arabidopsis* *cax1* mutant exhibits impaired ion homeostasis, development, and hormonal responses and reveals interplay among vacuolar transporters. *Plant Cell* 15:347-364
- Chung MY, Han JS, Giovannoni J, Liu Y, Kim CK, Lim KB, Chung JD (2010) Modest calcium increase in tomatoes expressing a variant of *Arabidopsis* cation/H⁺ antiporter. *Plant Biotechnol Rep* 4:15-21
- Doerner P, Jorgensen JE, You R, Steppuhn J, Lamb C (1996) Control of root growth and development by cyclin expression. *Nature* 380:520-523
- Hirschi KD (2004) The calcium conundrum. Both versatile nutrient and specific signal. *Plant Physiol* 136:2438-2442
- Hirschi KD, Zhen RG, Cunningham KW, Rea PA, Fink GR (1996) CAX1, an H⁺/Ca²⁺ antiporter from *Arabidopsis*. *Proc Natl Acad Sci USA* 93:8782-8786
- Ho LC, White PJ (2005) A cellular hypothesis for the induction of blossom-end rot in tomato fruit. *Ann Bot* 95:571-581
- Knight H, Knight MR (2001) Abiotic stress signaling pathways: specificity and cross-talk. *Trends Plant Sci* 6:262-267
- Krause KH, Michalak M (1997) Calreticulin. *Cell* 88:439-443
- Lee LY, Kononov ME, Bassuner B, Frame BR, Wang K, Gelvin SB (2007) Novel plant transformation vectors containing the Superpromoter. *Plant Physiol* 145:1294-1300
- Marschner H (1995) Mineral nutrition of higher plants. Academic Press, New York
- Morris J, Nakata PA, McConn M, Brock A, Hirschi KD (2007) Increased calcium bioavailability in mice fed genetically engineered plants lacking calcium oxalate. *Plant Mol Biol* 64:613-618
- Park S, Cheng NH, Pittman JK, Yoo KS, Park J, Smith RH, Hirschi KD (2005) Increased calcium levels and prolonged shelf life in tomatoes expressing *Arabidopsis* H⁺/Ca²⁺ transporters. *Plant Physiol* 139:1194-1206
- Park SH, Kim CK, Pike LM, Smith RH, Hirschi KD (2004) Increased calcium in carrots by expression of an *Arabidopsis* H⁺/Ca²⁺ transporter. *Mol Breeding* 14:275-282
- Park SH, Morris JL, Park JE, Hirschi KD, Smith RH (2003) Efficient and genotype-independent *Agrobacterium*-mediated tomato transformation. *J Plant Physiol* 160:1253-1257
- Persson S, Wyatt SE, Love J, Thompson WF, Robertson D, Boss WF (2001) The Ca²⁺ status of the endoplasmic reticulum is altered by induction of calreticulin expression in transgenic plants. *Plant Physiol* 126:1092-1104
- Pittman JK, Hirschi K (2003) Don't shoot the (second) messenger: endomembrane transporters and binding proteins modulate cytosolic Ca²⁺ levels. *Curr Opin Plant Biol* 6:257-262
- Sanders D, Pelloux J, Brownlee C, Harper JF (2002) Calcium at the crossroads of signaling. *Plant Cell* 14:s401-s417
- Shigaki T, Cheng NH, Pittman K, Hirschi K (2001) Structural determinants of Ca²⁺ transport in the *Arabidopsis* H⁺/Ca²⁺ antiporter CAX1. *J Biol Chem* 276:43152-43159
- White PJ, Broadley MR (2003) Calcium in plants. *Ann Bot* 92: 487-511
- Wyatt SE, Tsou PL, Robertson D (2002) Expression of the high capacity calcium-binding domain of calreticulin increases bioavailable calcium stores in plants. *Transgenic Res* 11:1-10